

CATÁLISE BÁSICA USANDO SÍLICA MESOPOROSA ESTABILIZADA POR ACRILATOS ENCAPSULADOS

Fernanda Tátia Cruz e Dilson Cardoso\*

Departamento de Engenharia Química, Universidade Federal de São Carlos – Rodovia Washington Luiz, Km 235, 13565-905 São Carlos – SP, Brasil

Tabela 1S. Solubilidade do monômero no fotoiniciador (benzoína)

Monômero	Dispersibilidade <sup>(a)</sup>	Benzoína <sup>(b)</sup>
2-etilexila	1,9	0,8
Butila	4,1	1,8

Dispersibilidade (v/v %) do monômero na fase aquosa com a concentração molar CTABr/H<sub>2</sub>O (1,3 mols/L) segundo Schumacher;<sup>14</sup> (b) Solubilidade (m/m %) do fotoiniciador no monômero.

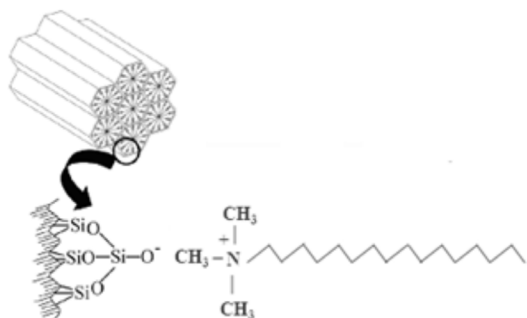


Figura 1S. Estrutura da CTA-MCM-41 com o ânion silóxi (≡SiO<sup>-</sup>) na boca do poro<sup>10</sup>

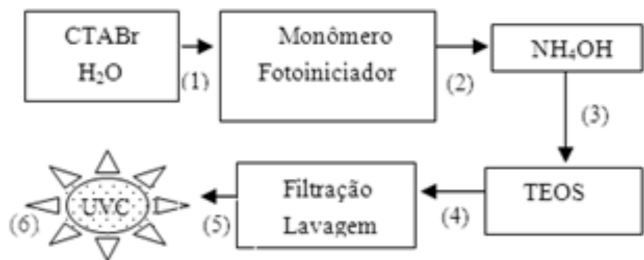


Figura 2S. Esquema de síntese da CTA-MCM-41 com monômeros encapsulados (sistema sob a ação da radiação ultravioleta-UVC em destaque)

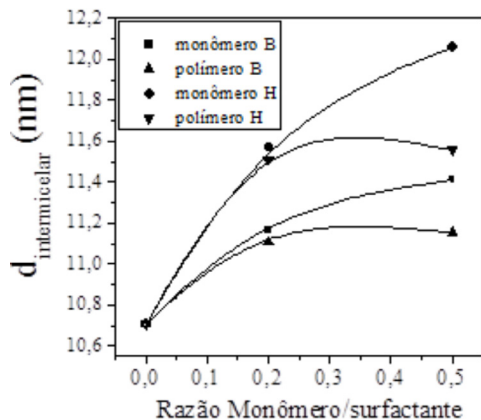


Figura 3S. Distância intermicelar das dispersões aquosas de acrilato de 2-etilexila (▲); poli(acrilato de 2-etilexila) (▼); acrilato de butila (■); poli(acrilato de butila) (●)

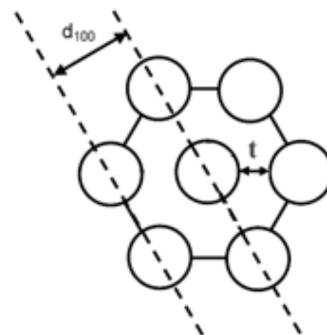


Figura 4S. Distância interplanar  $d_{100}$  e espessura da parede  $t$ , em MCM-41<sup>15</sup>

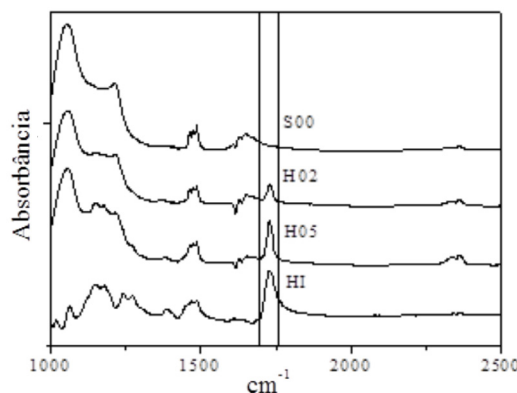


Figura 5S. Espectros de infravermelho da CTA-MCM-41 com diferentes razões molares (R) de acrilato de 2-etilexila submetido à radiação ultravioleta e H1 = poli(acrilato de 2-etilexila) sem sílica

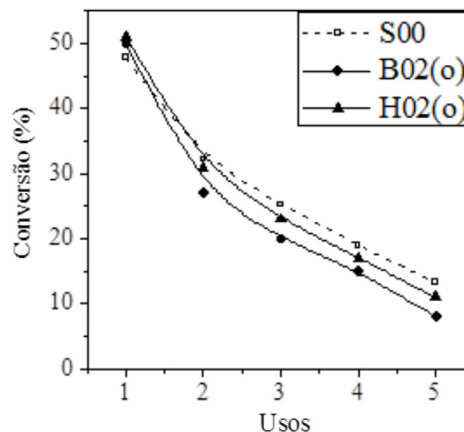


Figura 6S. Atividade Catalítica, em função dos usos, da sílica CTA-MCM-41 contendo acrilato de 2-etilexila (△) e acrilato de butila (●) não submetidos à radiação UVC

REFERÊNCIA

1S. Araújo, J. A.; Cruz, F. T.; Cruz, I. H.; Cardoso, D.; *Microporous Mesoporous Mater.* **2013**, *180*, 14.

\*e-mail: dilson@ufscar.br